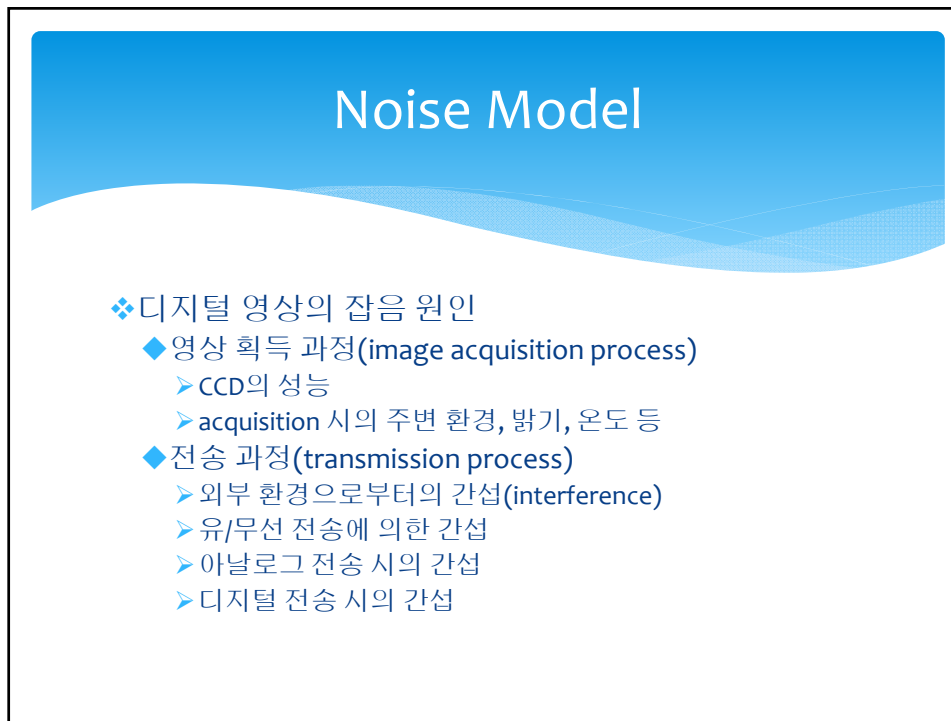
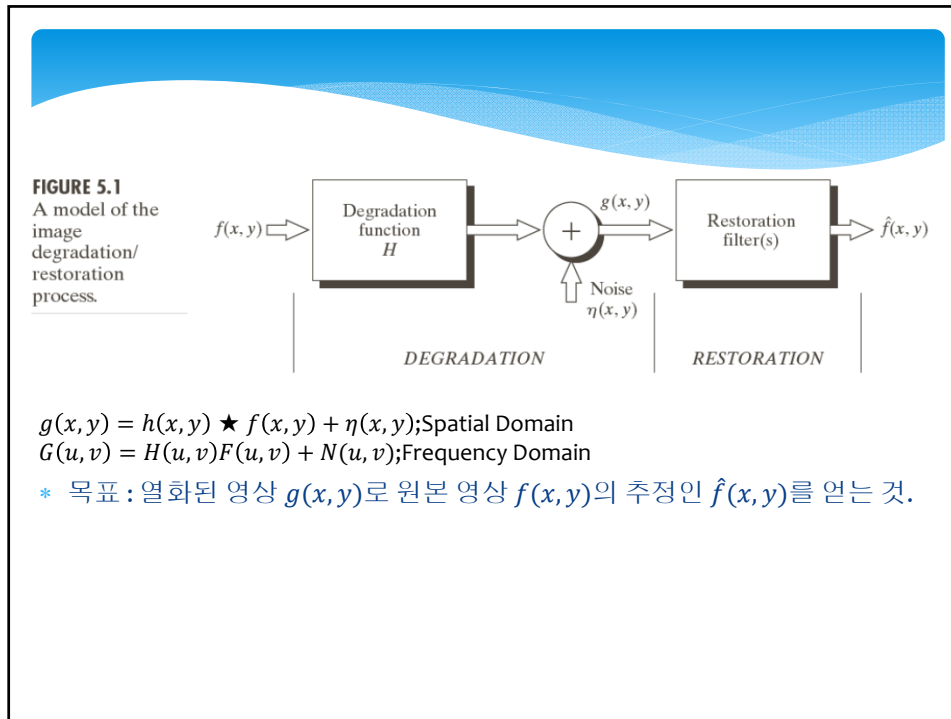


Image Restoration

Restoration

- * 열화(degradation)된 이미지를 열화 현상에 대한 사전 지식을 이용하여 재구성(reconstruction)하는 것.
- * Degradation Model과 Noise Model의 이해 필요.
- * 주어진 Image에 대한 restoration만 고려 -> 센서등의 열화는 고려치 않음.
- * Spatial domain과 Frequency domain 모두 고려



Noise Probability Density Functions

- * 영상에 존재하는 잡음 성분을 확률 변수로 가정하여 잡음을 확률 분포함수로 표현
- * 가장 대표적인 Noise model 들
 - Gaussian noise
 - Rayleigh noise
 - Erlang(Gamma) noise
 - Exponential noise
 - Uniform noise
 - Impulse(salt-and-pepper) noise

Noise Probability Density Function

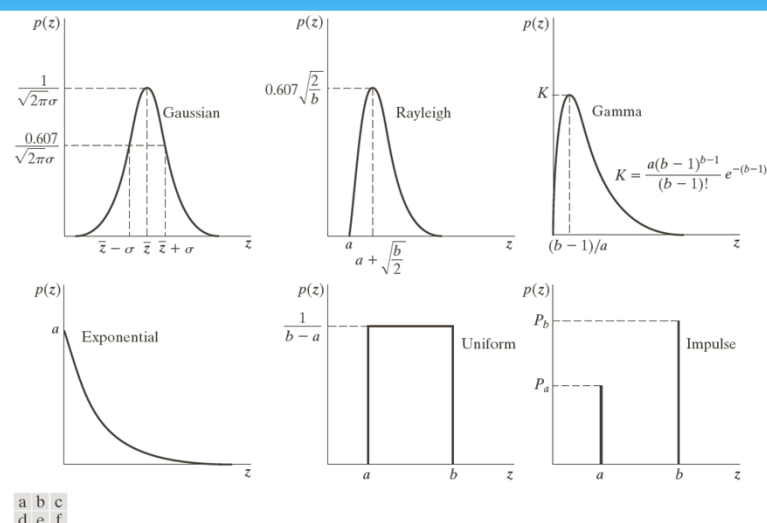
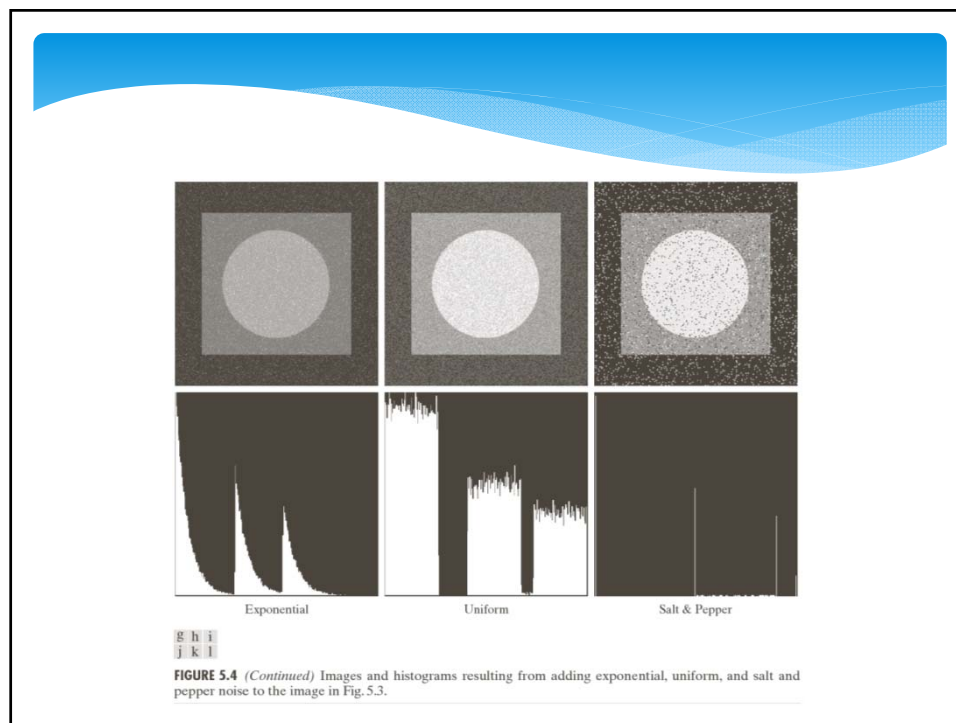
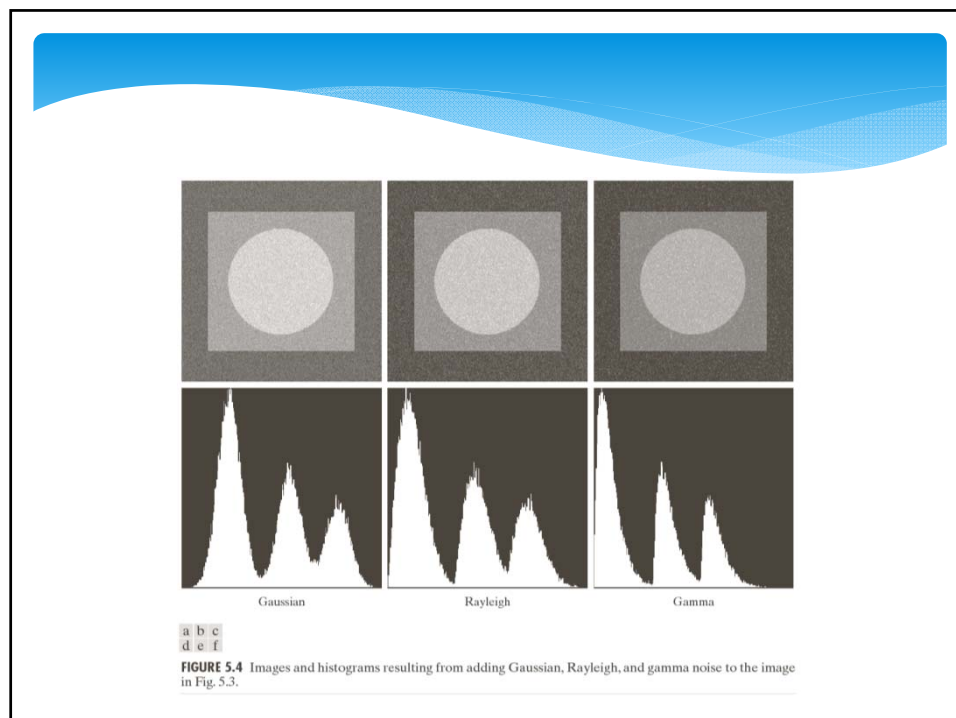


FIGURE 5.2 Some important probability density functions.

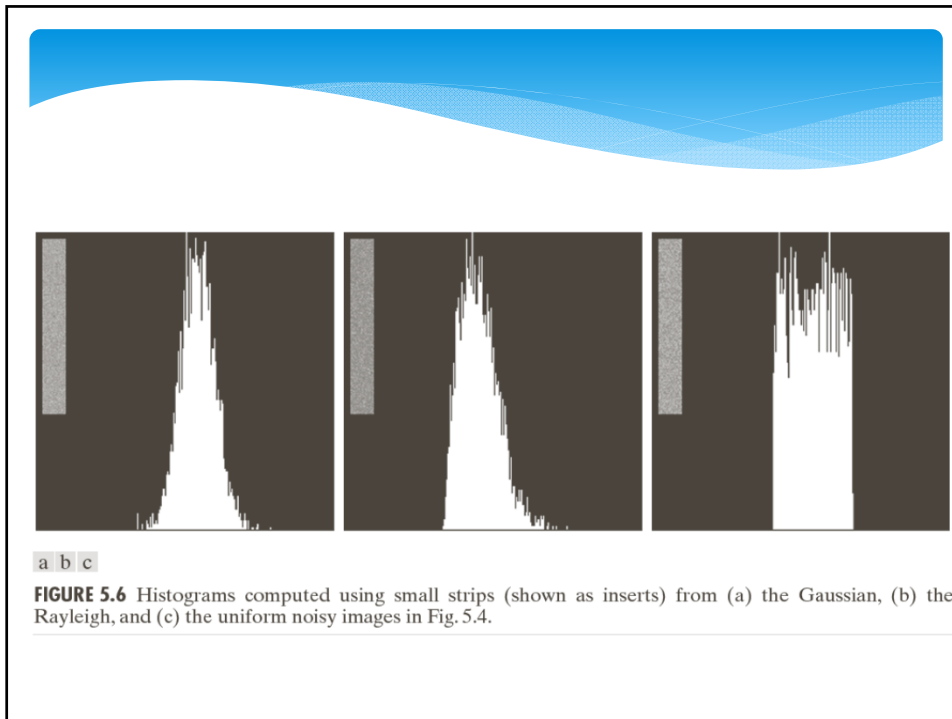


* 주기적 노이즈.



Estimation of Noise Parameters

- * 주기적 노이즈의 파라미터는 일반적으로 Fourier 스펙트럼을 관찰하여 추정.
- * 단색 환경에서 영상 촬영 후 분석.
- * 영상 촬영이 불가능 할 경우, 단색 부분으로 추정



노이즈만 있을 때의 복원

- * $g(x, y) = f(x, y) + \eta(x, y)$; Spatial Domain
 $G(u, v) = F(u, v) + N(u, v)$; Frequency Domain
- * 랜덤한 부가 노이즈만 존재할 경우 : 공간영역
 주기 노이즈 : 주파수 영역
- * 노이즈항($\eta(x, y), N(u, v)$)은 알려져 있지 않음
 -> 정확한 연산 불가능

Noise suppression by spatial filtering

- * 평균 필터(Mean filter)
 - 산술 평균 필터(Arithmetic Mean filter)
 - 기하 평균 필터(Geometric Mean filter)
 - 조화 평균 필터(Harmonic Mean filter)
 - 역조화 평균 필터(Contraharmonic Mean filter)
- * Order-statistics Filter
 - Median filter
 - Max, Min, Midpoint filter

평균 필터

- * $\hat{f}(x, y) = \frac{1}{mn} \sum_{(s,t) \in S_{xy}} g(s, t)$; 산술 평균 필터
 - * $\hat{f}(x, y) = \left[\prod_{(s,t) \in S_{xy}} g(s, t) \right]^{\frac{1}{mn}}$; 기하 평균 필터
 - * $\hat{f}(x, y) = \frac{mn}{\sum_{(s,t) \in S_{xy}} g(s, t)}$; 하모닉 평균 필터
 - * $\hat{f}(x, y) = \frac{\sum_{(s,t) \in S_{xy}} g(s, t)^{Q+1}}{\sum_{(s,t) \in S_{xy}} g(s, t)^Q}$; 콘트라하모닉 평균 필터 Q ; 필터의 차수
- 산술평균 ≥ 기하평균
- * 산술평균 필터: 블러링, 노이즈 감소
 - * 기하평균 필터: 산술평균필터보다 영상의 디테일을 잃음
 - * 하모닉평균 필터: Gauss, 소금 노이즈에 좋은 결과, 후주 노이즈엔 취약
 - * 콘트라하모닉 평균 필터: $Q = 0$: 산술평균 필터, $Q > 0$: 후주 노이즈 제거, $Q = -1$: 하모닉 평균 필터

a b
c d

FIGURE 5.7
 (a) X-ray image.
 (b) Image corrupted by additive Gaussian noise.
 (c) Result of filtering with an arithmetic mean filter of size 3×3 .
 (d) Result of filtering with a geometric mean filter of the same size.
 (Original image courtesy of Mr. Joseph E. Pascente, Lixi, Inc.)

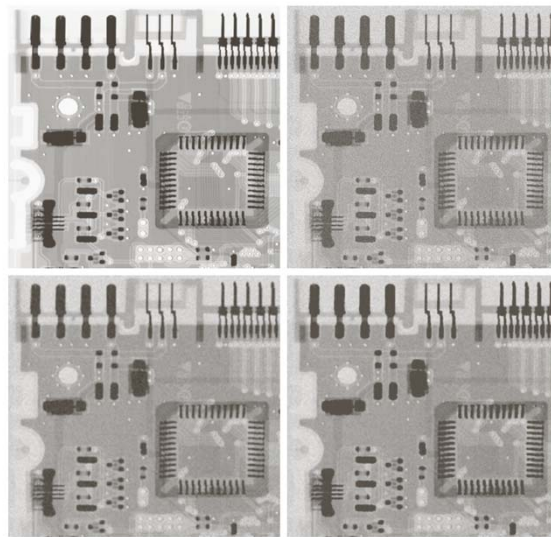
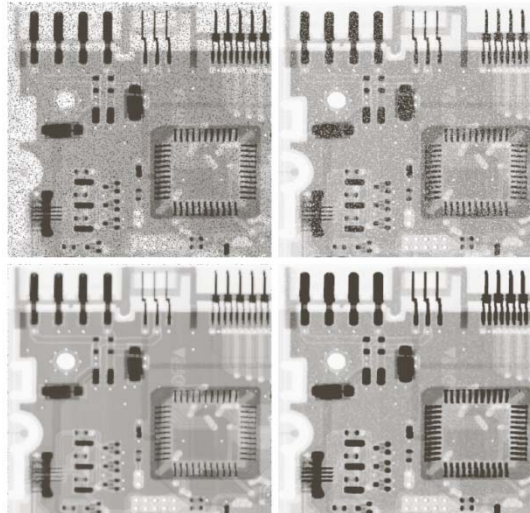
a b
c d

FIGURE 5.8
 (a) Image corrupted by pepper noise with a probability of 0.1.
 (b) Image corrupted by salt noise with the same probability.
 (c) Result of filtering (a) with a 3×3 contra-harmonic filter of order 1.5.
 (d) Result of filtering (b) with $Q = -1.5$.

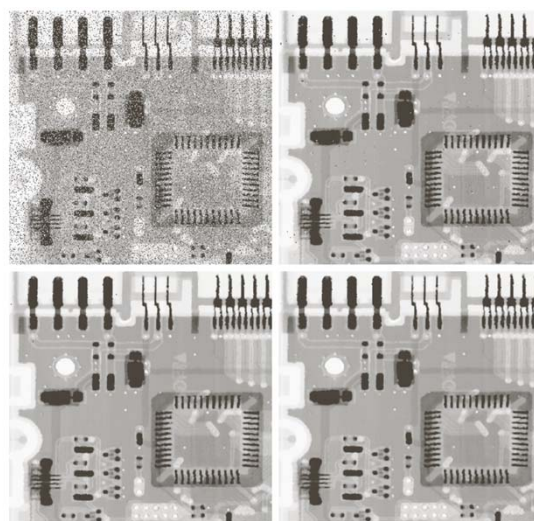


Median filter

- * $\hat{f}(x, y) = \underset{(s,t) \in S_{xy}}{\text{median}} \{g(s, t)\}$
- * 가장 대표적인 order-statistics filter
- * bipolar, unipolar impulse noise 제거에 최적
- * 계산량이 많음

a b
c d

FIGURE 5.10
(a) Image corrupted by salt-and-pepper noise with probabilities $P_a = P_b = 0.1$.
(b) Result of one pass with a median filter of size 3×3 .
(c) Result of processing (b) with this filter.
(d) Result of processing (c) with the same filter.



Max filter

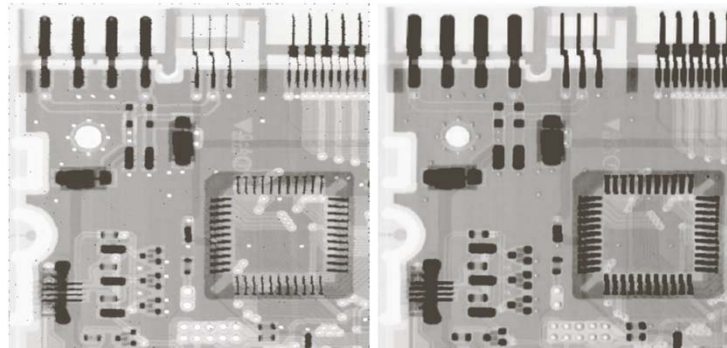
- * $\hat{f}(x, y) = \max_{(s,t) \in S_{xy}} \{g(s, t)\}$
- * 최대값을 사용
- * pepper noise 제거 가능, 영상이 부분적으로 밝아짐

Min filter

- * $\hat{f}(x, y) = \min_{(s,t) \in S_{xy}} \{g(s, t)\}$
- * 최소값을 사용
- * salt noise 제거 가능, 영상이 부분적으로 어두워짐

a b

FIGURE 5.11
(a) Result of filtering
Fig. 5.8(a) with a max filter of size 3×3 . (b) Result of filtering Fig. 5.8(b) with a min filter of the same size.



중간점 필터

$$* \hat{f}(x, y) = \frac{1}{2} \left[\max_{(s,t) \in S_{xy}} \{g(s, t)\} + \min_{(s,t) \in S_{xy}} \{g(s, t)\} \right]$$

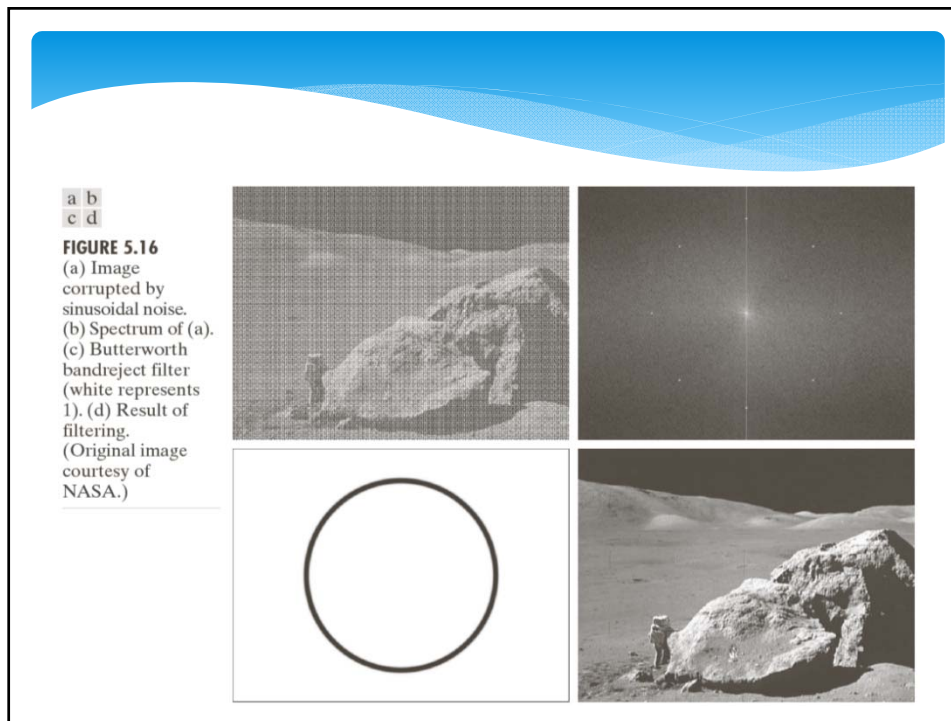
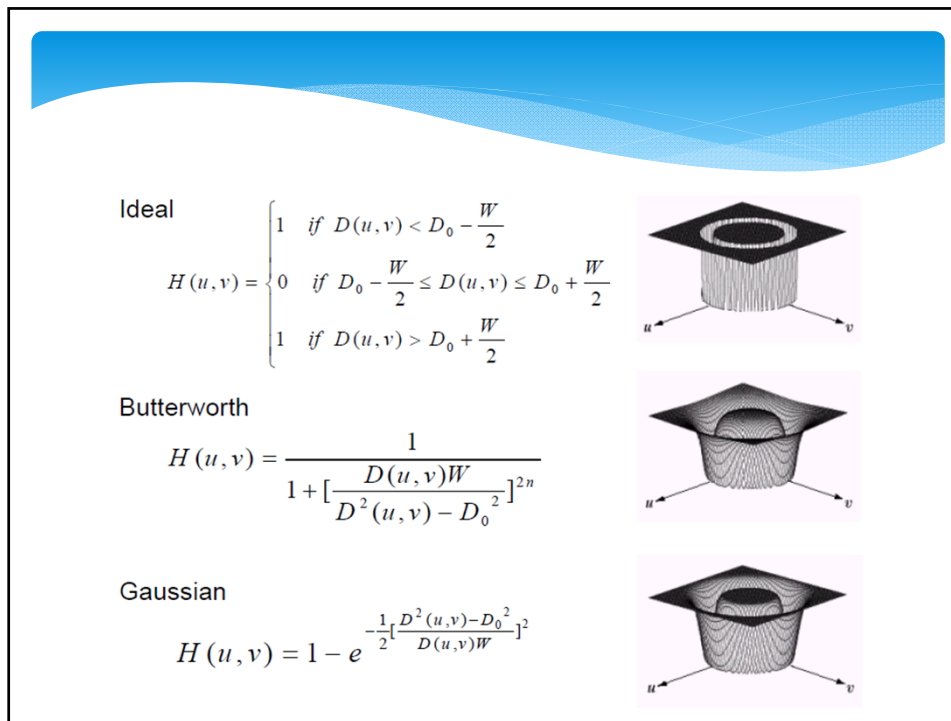
- * 최대값과 최소값의 평균을 사용
- * Gaussian 잡음과 uniform 잡음 제거에 효과적

Noise suppression by frequency domain filtering

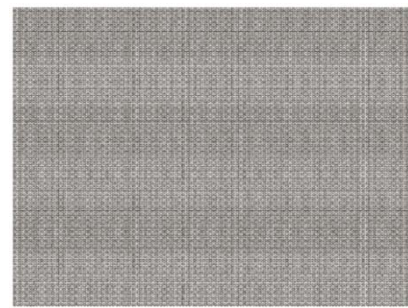
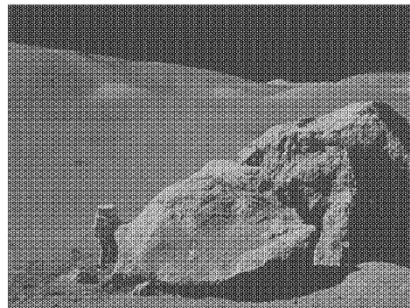
- * 영상 내에 존재하는 특수한 주파수의 잡음 성분을 제거
- * 대역 제거 필터(Band reject filter)
- * 대역 통과 필터(Band pass filter)
- * 노치 필터(Notch filter)

Band Reject Filter

- * 특수한 주파수 대의 잡음 성분을 제거
- * Ideal band reject filter
- * Butterworth band reject filter
- * Gaussian band reject filter



Band Pass Filter

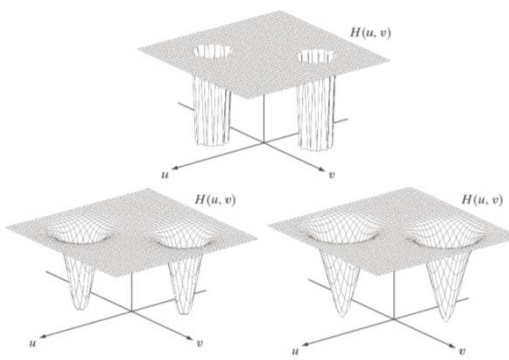


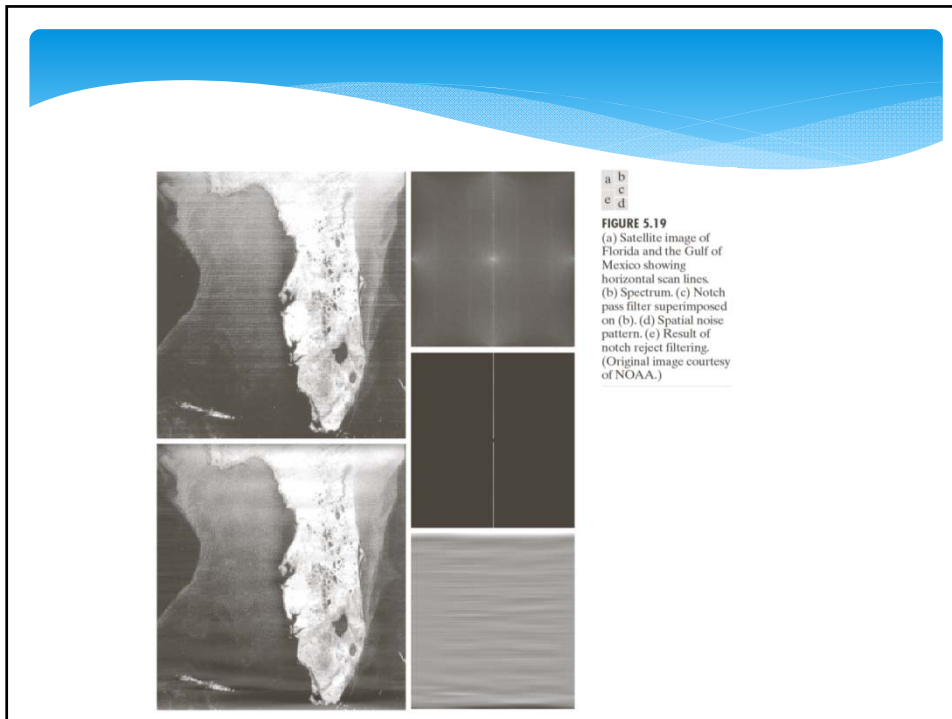
노치 필터

* 특정 주파수 성분만 통과 시키거나 제거

a
b **c**

FIGURE 5.18
Perspective plots
of (a) ideal,
(b) Butterworth
(of order 2), and
(c) Gaussian
notch (reject)
filters.





Estimating the Degradation Function

- * 열화는 Convolution의 결과로 모델링됨. 복원은 역으로 적용하는 필터를 찾는 과정. 따라서 복원을 deconvolution이라고도 함.
- * 정확한 열화 함수를 알기 어렵기 때문에 Blind deconvolution.
- * 영상 관찰에 의한 추정
- * 실험에 의한 추정
- * 모델링에 의한 추정

영상 관찰에 의한 추정

- * 매우 특별한 상황에서 사용하는 노동력이 많이 드는 과정
- * 열화된 영상 자체로부터 정보를 얻어 수작업으로 처리

- * $H_s(u, v) = \frac{G_s(u, v)}{\hat{F}_s(u, v)}$
- * $G_s(u, v)$; 관찰된 영상, $\hat{F}_s(u, v)$; 처리된 영상

실험에 의한 추정

- * 열화된 영상을 얻는데 사용한 장치와 유사한 장치 사용
- * 동일한 시스템 설정으로, 노이즈를 줄이기 위해 강한 점 광원을 대상으로 Sample 촬영
- * $H(u, v) = \frac{G(u, v)}{A}$
- * A ; Impulse의 강도를 묘사하는 상수

a b
FIGURE 5.24
Degradation
estimation by
impulse
characterization.
(a) An impulse
of light (shown
magnified).
(b) Imaged
(degraded)
impulse.



모델링에 의한 추정

- * 기본 원리들로부터 수학적 모델을 유도.
- * Ex) 대기 난기류의 열화 모델.

FIGURE 5.25
Illustration of the atmospheric turbulence model.
(a) Negligible turbulence.
(b) Severe turbulence,
 $k = 0.0025$.
(c) Mild turbulence,
 $k = 0.001$.
(d) Low turbulence,
 $k = 0.00025$.
(Original image courtesy of NASA.)



영상의 복원

- * 추정에 의한 열화함수를 이용하여 복원하는 과정
- * 역 필터링
- * Wiener(최소 평균 제곱 오차) 필터링
- * 제한된 최소 제곱 필터링
- * 기하 평균 필터링

역 필터링

- * 열화된 영상의 변환을 열화 함수로 단순 나눠서 구함

$$* \hat{F}(u, v) = \frac{G(u, v)}{H(u, v)}$$

최소 평균 제곱 오차 필터링

- * 영상과 노이즈를 확률변수로 다루며, 원본 영상과의 오차가 최소화되는 추정영상 \hat{f} 를 찾음.

- * 영상의 추정을 위해서 통계적 기법 사용.

- * 다음의 근사치 사용, K : 상수

$$* \hat{F}(u, v) = \left[\frac{1}{H(u, v)} \frac{|H(u, v)|^2}{|H(u, v)|^2 + K} \right] G(u, v)$$

제한된 최소 제곱 필터링

- * Wiener 필터링의 문제점
 - * 전력 스팩트럼을 알아야 한다.
 - * 근사치를 사용할 경우에도 K 값을 추정해야 한다.
 - * 노이즈의 평균과 분산만으로 계산.
 - * 복원 영상의 최적성을 영상의 Laplacian에 기반함.
 - * $P(u, v)$; Laplacian의 Fourier변환, γ ; 파라메터
 - * $H^*(u, v)$; complex conjugate $(\bar{A})_{mn} = a_{mn} - ib_{mn} = \overline{(A_{mn})}$
 - * $\hat{F}(u, v) = \left[\frac{H^*(u, v)}{|H(u, v)|^2 + \gamma |P(u, v)|^2} \right] G(u, v)$ $(A^*)_{mn} = (\bar{A})_{nm}$

기하 평균 필터

- * Wiener 필터의 일반화.
- * α, β : 양의 실수 상수.
- * $\alpha = 1 \rightarrow$ 역필터, $\alpha = 0 \& \beta = 1 \rightarrow$ Wiener 필터
- * $\alpha = \frac{1}{2} \rightarrow$ 기하 평균의 정의와 같아짐.
- * $\alpha = \frac{1}{2} \& \beta = 1 \rightarrow$ 스펙트럼 평활화 필터(Spectrum Equalization Filter)
- * 여러 개의 필터를 하나의 식으로 표현 가능하기 때문에 많이 사용.
- * $\hat{F}(u, v) = \left[\frac{H^*(u, v)}{|H(u, v)|^2} \right]^\alpha \left[\frac{H^*(u, v)}{|H(u, v)|^2 + \beta \left[\frac{S_\eta(u, v)}{S_f(u, v)} \right]} \right]^{1-\alpha} G(u, v)$
- * $S_\eta(u, v) = |N(u, v)|^2$: 노이즈의 전력 스팩트럼
- * $S_f(u, v) = |F(u, v)|^2$: 열화되지 않은 영상의 전력 스팩트럼